

Н. М. Мэйджор, М.У. Андерсон,
К. Э. Хелмс, Ф.Э. Каплан, Р. Дассо

МРТ КОСТНО-МЫШЕЧНОЙ СИСТЕМЫ

Перевод с английского
под редакцией
профессора А.В. Араблинского

Содержание

Список сокращений и условных обозначений.....	14
Предисловие к изданию на русском языке.....	15
Предисловие к изданию на английском языке.....	16
1. ОСНОВНЫЕ ПРИНЦИПЫ МРТ КОСТНО-МЫШЕЧНОЙ СИСТЕМЫ.....	18
Как получить изображения высокого качества?.....	18
Двигательные артефакты.....	18
Сигнал и разрешение	19
Контрастность тканей (тканевое разрешение)	22
Импульсные последовательности	22
Подавление сигнала от жировой ткани.....	29
Гадолиний	32
МР-артрография	34
Костная и мышечная ткань	34
Кости.....	35
Нормальная МРТ-картина.....	35
Наиболее эффективные последовательности.....	35
«Ловушки».....	36
Суставной хрящ.....	36
Нормальная МРТ-картина.....	36
Наиболее эффективные последовательности	36
Фиброзный хрящ.....	36
Нормальная МРТ-картина.....	36
Часто используемые последовательности: мениск	37
«Ловушки».....	37
Часто используемые последовательности: суставная губа плечевого сустава или вертлужной впадины	37
Сухожилия и связки.....	38
Нормальная МРТ-картина.....	38
Наиболее эффективные последовательности	38
«Ловушки».....	38
Мышцы.....	39
Нормальная МРТ-картина.....	39
Эффективные последовательности	39
Синовиальная оболочка	40
Нормальная МРТ-картина.....	40
Эффективные последовательности	40
«Ловушки».....	40
Области применения	40
Список литературы.....	41
2. КОСТНЫЙ МОЗГ	44
Визуализация костного мозга.....	44
Анатомия и функция костного мозга в норме	45
Губчатая кость	45

Красный костный мозг.....	45
Желтый костный мозг.....	46
Конверсия костного мозга.....	46
Варианты распределения красного костного мозга в норме.....	46
МРТ-картина костного мозга в норме	49
Желтый костный мозг.....	49
Красный костный мозг.....	49
Неоднородность костного мозга.....	50
Патологические изменения костного мозга	51
Нарушения пролиферации клеток костного мозга	52
Нарушения замещения клеток костного мозга	59
Остеопоротические и патологические компрессионные переломы позвонков	63
Истощение костного мозга	66
Отек костного мозга (гиперемия и ишемия).....	69
Другие заболевания костного мозга.....	73
Список литературы.....	79
3. СУХОЖИЛИЯ И МЫШЦЫ	81
Визуализация сухожилий	81
Сухожилия в норме.....	82
Анатомия.....	82
МРТ сухожилий в норме.....	82
Патологические изменения сухожилий.....	83
Дегенеративные изменения	84
Теносиновит.....	84
Разрывы сухожилий	86
Подвывихи/дислокации сухожилий.....	88
Другие патологические изменения сухожилий	89
Визуализация мышц.....	92
Мышцы в норме	92
МР-картина	92
Патологические изменения мышц	93
Повреждения мышц.....	93
Непрямые повреждения мышц	93
Прямые повреждения мышц	97
Прочие травматические повреждения	103
Воспалительные миопатии.....	106
Пиомиозит	106
Некротизирующий фасциит	107
Идиопатические воспалительные полимиопатии	108
Первичные заболевания мышц.....	108
Дистрофии и миопатии	108
Денервация	109
Опухоли.....	110
Другие патологические изменения мышц	113
Радомиолиз	113
Инфаркт мышц.....	113
Добавочные мышцы	114
Лучевая терапия, хирургические методы лечения и химиотерапия.....	115
Список литературы.....	116
4. ПЕРИФЕРИЧЕСКИЕ НЕРВЫ	118
Визуализация нервов.....	118
Норма и патологические изменения	118

Общие сведения	118
Нормальная анатомия и МРТ-картина	119
Патологические изменения нервов	120
Травматические повреждения нервов	121
Опухоли нервов	123
Компрессионная нейропатия и синдромы ущемления	128
Патологические изменения нервов	129
Список литературы.....	130
5. ИНФЕКЦИИ КОСТНО-МЫШЕЧНОЙ СИСТЕМЫ	132
Визуализация инфекции	132
Остеомиелит	133
Определение терминов	133
Пути инфицирования	136
Гематогенная диссеминация	136
Распространение из прилегающих тканей	137
Прямое проникновение	138
МРТ-картина при остеомиелите	138
Острый остеомиелит	139
Подострый остеомиелит	142
Хронический остеомиелит	142
Инфекция мягких тканей	143
Целлюлит	143
Септический теносиновит и септический бурсит	145
Пиомиозит (инфекционный миозит)	145
Некротизирующий фасциит	146
Септический артрит	147
Прочие патологические состояния	149
Инородные тела	149
Хронический рецидивирующий многоочаговый остеомиелит	150
СПИД	150
Синдром диабетической стопы	151
Список литературы.....	154
6. АРТРИТ И ХРЯЩ	155
Визуализация артрита и хряща	155
Ревматоидный артрит	156
Анкилозирующий спондилит (или болезнь Бехтерева — хроническое системное заболевание суставов с преимущественной локализацией процесса в крестцово-подвздошных сочленениях, суставах позвоночника и паравертебральных мягких тканях)	158
Подагра	158
Болезнь отложения кристаллов кальция пирофосфата дигидрата	160
Гемофилия	160
Амилоид	161
Опухоли	163
Синовиальный хондроматоз	163
Пигментный виллонодулярный синовит	165
Суставные мыши	165
Хрящ	166
Заключение	169
Список литературы.....	169

7. ОПУХОЛИ	171
Стадирование опухолей костно-мышечной системы.....	171
Принципы стадирования.....	171
Степень	172
Местное распространение	172
Метастазы	172
Принципы получения изображений.....	172
Опухоли костей.....	172
Опухоли мягких тканей.....	173
Важные параметры магнитно-резонансной томографии	173
Оценка опухоли после лечения.....	176
После химиотерапии.....	176
После хирургического лечения и лучевой терапии.....	176
Визуализация опухолей	177
Подход к интерпретации изображений.....	180
Общие принципы	180
Поражения костей.....	181
Дифференциально-диагностические признаки.....	182
Опухоли мягких тканей	188
Общие принципы.....	188
Дифференциально-диагностические признаки.....	188
Список литературы.....	213
8. ТРАВМЫ КОСТЕЙ	215
Визуализация травм костей.....	215
Анатомия.....	216
Обзор травм костей	216
Методы визуализации.....	216
Острая травма костей	217
Травмы при ударе.....	217
Ушиб.....	217
МР-картина при ушибах.....	218
Рентгенологически скрытый перелом	219
Отрывные переломы	219
Наиболее частые локализации.....	221
МР-картина	223
Повторная травма.....	223
Остеопоротические переломы.....	224
МР-картина	224
Усталостные/стрессовые переломы	227
МР-картина	227
Система стадирования по МР-картине	230
Хронические отрывные переломы.....	230
Расколотая голень (синдром напряжения медиальной поверхности большеберцовой кости)	230
Синдром щелкающего бедра	231
Посттравматический остеолиз.....	231
Травма незрелого скелета.....	231
Эпифизеолиз	231
Посттравматические мостики в метаэпифизарной пластинке	233
Отрывные переломы	233
Дифференциальная диагностика.....	234

Эпифизарный/субхондральный отек костного вещества (блок 8.4).....	234
Усталостные переломы и опухоли.....	234
Рассекающий остеохондрит.....	235
Список литературы.....	237
9. ВИСОЧНО-НИЖНЕЧЕЛЮСТНОЙ СУСТАВ	239
Визуализация височно-нижнечелюстного сустава.....	239
Височно-нижнечелюстной сустав в норме	240
Костные структуры.....	240
Диск.....	240
Заболевания височно-нижнечелюстного сустава.....	241
Внутрисуставные патологические изменения.....	241
МРТ при внутрисуставных поражениях и дегенеративных изменениях.....	243
Список литературы.....	243
10. ПЛЕЧЕВОЙ СУСТАВ	245
Визуализация плечевого сустава	245
Сухожилия и клювовидно-акромиальная дуга	247
Нормальная анатомия	247
Сухожилия.....	247
Клювовидно-акромиальная дуга	250
Импинджмент-синдром плечевого сустава	252
Причины	253
Акромиальная конфигурация	253
Проявления импинджмент-синдрома.....	256
Разрывы, дегенеративные изменения и дислокации сухожилий	256
Надостная мышца.....	256
Длинная головка двуглавой мышцы.....	260
Подостная мышца и малая круглая мышца	262
Подлопаточная мышца	264
Массивные разрывы вращательной манжеты	265
Патологические изменения ротаторного интервала	265
Нестабильность.....	267
Анатомия при нестабильности.....	269
Капсула.....	269
Плечевые связки	269
Суставная губа	272
Повреждения, сопровождаемые нестабильностью.....	275
Капсула.....	275
Плечевые связки	276
Кости.....	277
Суставная губа	279
Повреждения суставной губы, не сопровождаемые нестабильностью.....	281
Повреждения верхних отделов суставной губы с распространением разрыва спереди назад.....	281
Паралабральные кисты.....	284
Сочетанное повреждение суставной губы и хряща гленоида	285
Плечевой сустав после оперативного лечения.....	285
Хирургические вмешательства при импинджмент-синдроме и патологии вращательной манжеты плечевого сустава.....	286
Хирургические вмешательства при нестабильности	286
Другие патологические изменения суставной капсулы, суставной сумки и сухожилия...286	286
Адгезивный капсулит	286

Синовиальные кисты.....	287
Кальцифицирующий тендинит и кальцифицирующий бурсит	287
Субкоракоидальный бурсит	288
Патологические изменения нервов	288
Синдром четырехугольного пространства.....	291
Синдром Персонейджа–Тернера	292
Патологические изменения костей.....	293
Посттравматический остеолиз ключицы.....	293
Скрытые переломы	294
Аваскулярный некроз.....	294
Опухоли.....	295
Патологические изменения мягких тканей.....	295
Доброкачественные и злокачественные опухоли.....	295
Травмы грудных мышц.....	297
Список литературы.....	297
11. ЛОКТЕВОЙ СУСТАВ	303
Визуализация локтевого сустава	303
Норма и патологические изменения	304
Кости.....	304
Нормальные отношения	304
Костные нарушения.....	305
Связки.....	307
Радиальный коллатеральный связочный комплекс	308
Локтевой коллатеральный связочный комплекс	311
Синовиальная складка.....	312
Мышцы и сухожилия	313
Передний отдел	313
Задняя область	315
Медиальная область	316
Латеральная область	317
Нервы.....	319
Локтевой нерв	320
Срединный (медианный) нерв.....	321
Лучевой нерв	322
Заболевания суставов	323
Артропатии/суставные мыши	323
Образования (опухоли)	325
Эпитерохлеарная (локтевая) аденопатия	325
Синовиальные сумки.....	325
Список литературы.....	326
12. ЛУЧЕЗАПЯСТНЫЙ СУСТАВ И КИСТЬ	330
Визуализация лучезапястного сустава и кисти	330
Норма и патологические изменения	332
Связки.....	332
Внутренние связки.....	332
Наружные связки.....	335
Треугольный фиброзно-хрящевой комплекс	337
Треугольный фиброзный хрящ	337
Лучелоктевые связки.....	339
Гомолог мениска.....	340
Влагалище локтевого разгибателя запястья	341
Локтевая коллатеральная связка (лучезапястный сустав).....	341

Локтевая коллатеральная связка большого пальца	342
Локтевая коллатеральная связка большого пальца в норме.....	342
«Большой палец егеря» (также известное как «большой палец лыжника»).....	343
Сухожилия	343
Нормальная анатомия.....	343
Патологические изменения сухожилий.....	344
Канал запястья	347
Нервы.....	348
Срединный нерв	348
Фибролипоматозная гамартома	351
Локтевой нерв	351
Костные структуры.....	352
Нормальные отношения	352
Патологии костей	353
Опухоли.....	359
Патологические образования костей	359
Патологические образования мягких тканей	360
Артрит	363
Синовиальные кисты	363
Инфекция	363
Список литературы.....	364
13. ПОЗВОНОЧНИК	368
Визуализация позвоночника	368
Норма и патологические изменения.....	369
Дегенеративные изменения	369
Старение и дегенерация дисков	370
Костные дегенеративные изменения.....	382
Спинальный стеноз.....	385
Стеноз центрального канала	386
Стеноз межпозвоночного отверстия.....	388
Послеоперационные изменения.....	390
МРТ при неосложненном течении послеоперационного периода	390
Неэффективное хирургическое вмешательство на спине	392
Воспалительные изменения	393
Сpondилодисцит	393
Эпидуральный абсцесс	395
Арахноидит	395
Анкилозирующий спондилит (болезнь Штюмпелля–Бехтерева–Мари)	395
Травматические изменения.....	397
Спондилолиз и спондилolistез	397
Внутрикостные грыжи диска.....	399
Значительная (обширная) травма	400
Опухоли позвонков	406
Добропачественные опухоли костей	406
Злокачественные опухоли костей	407
Содержимое спинального канала	409
Эпидуральное пространство	409
Инtradуральное пространство	414
Поражения спинного мозга	418
Фиксированный (привязанный) спинной мозг	421
Список литературы.....	423

14. ТАЗОБЕДРЕННЫЕ СУСТАВЫ И ТАЗ	430
Визуализация тазобедренных суставов и таза	430
Норма и патологические изменения	432
Костные структуры	432
Костные структуры в норме	432
Сосудистые патологические изменения костей	433
Переломы	438
Грыжевые ямки	442
Опухоли костей	443
Мягкие ткани	444
Патологические изменения мышц и сухожилий	444
Нервы	448
Синовиальная сумка	449
Опухоли мягких тканей	450
Суставы	451
Круглая связка в норме	451
Суставная губа	452
Суставной хрящ в норме	454
Патологически измененный суставной хрящ	454
Импинджмент-синдром тазобедренного сустава	455
Воспалительные артриты	456
Дегенеративное заболевание суставов	457
Дисплазия	457
Внутрисуставные опухоли (синовиальные процессы)	459
Визуализация после артропластики тазобедренного сустава	461
Список литературы	461
15. КОЛЕННЫЙ СУСТАВ	465
Визуализация коленного сустава	465
Норма и патологические изменения	467
Мениски	467
В норме	467
Патологические изменения	467
Разрывы	469
Кисты	473
Дискоидный мениск	475
Ошибки	476
Поперечная связка	476
Связки	479
Передняя крестообразная связка	479
Задняя крестообразная связка	483
Медиальная коллатеральная связка	484
Комплекс латеральной коллатеральной связки	486
Надколенник	489
Синовиальные складки	489
Сухожилие надколенника	491
Импинджмент-синдром жирового тела надколенника	491
Синовиальные сумки	492
Подколенная киста (киста Бейкера)	492
Препателлярная сумка	493
Синовиальная сумка «гусиной лапки» (сумка объединенного сухожилия тонкой, портняжной и полусухожильной мышц)	493

Синовиальная сумка полуперепончато-большеберцовой коллатеральной связки	493
Сумка медиальной коллатеральной связки	494
Кости.....	495
Мягкие ткани	496
Хрящ.....	497
Список литературы.....	497
16. СТОПА И ГОЛЕНОСТОПНЫЙ СУСТАВ	500
Визуализация стопы и голеностопного сустава.....	500
Норма и патологические изменения.....	502
Сухожилия	502
Задняя группа сухожилий голеностопного сустава	502
Ахиллово сухожилие и сухожилие подошвенной мышцы)	502
Медиальные сухожилия голеностопного сустава	506
Сухожилие задней большеберцовой мышцы	506
Длинный сгибатель пальцев	510
Длинный сгибатель большого пальца стопы.....	510
Латеральные сухожилия голеностопного сустава	511
Сухожилия малоберцовых мышц.....	511
Передние сухожилия голеностопного сустава.....	515
Сухожилие передней большеберцовой мышцы	515
Связки голеностопного сустава	516
Медиальные связки голеностопного сустава.....	516
Латеральные связки голеностопного сустава	518
Другие воспалительные заболевания.....	522
Переднелатеральный импинджмент-синдром голеностопного сустава	522
Синдром тарзального синуса	523
Плантарный фасциит.....	525
Патологические изменения нервов	527
Синдром предплюсневого канала	527
Неврома Мортона	529
Патологические изменения костей	531
Тарзальная коалиция	531
Добавочные и сесамовидные кости.....	532
Переломы.....	535
Остеонекроз стопы и голеностопного сустава	535
Опухоли костей.....	537
Синдром отека костного мозга	539
Опухоли мягких тканей	540
Добропачественные опухоли	540
Злокачественные опухоли	540
Образования, имитирующие опухоли мягких тканей	542
Диабетическая стопа.....	543
Инородные тела.....	547
Список литературы.....	548
Предметный указатель.....	556

1

Основные принципы МРТ костно-мышечной системы

СОДЕРЖАНИЕ

Как получить изображения высокого качества?.....	18
Двигательные артефакты	18
Сигнал и разрешение.....	19
Контрастность тканей (тканевое разрешение) ...	22
Импульсные последовательности	22
Подавление сигнала от жировой ткани	29
Гадолиний	32
МР-артрография	34
Костная и мышечная ткань	34
Кости	35
Нормальная МРТ-картина	35
Наиболее эффективные последовательности	35
«Ловушки»	36
Суставной хрящ	36
Нормальная МРТ-картина	36
Наиболее эффективные последовательности	36
Фиброзный хрящ	36
Нормальная МРТ-картина	36
Часто используемые последовательности:	
мениск	37
«Ловушки»	37
Часто используемые последовательности:	
суставная губа плечевого сустава или вертлужной впадины	37
Сухожилия и связки.....	38
Нормальная МРТ-картина	38
Наиболее эффективные последовательности	38
«Ловушки»	38
Мышцы.....	39
Нормальная МРТ-картина	39
Эффективные последовательности.....	39
Синовиальная оболочка	40
Нормальная МРТ-картина	40
Эффективные последовательности.....	40
«Ловушки»	40
Области применения	40
Список литературы	41

Для того чтобы интерпретировать результаты МРТ, не нужно хорошо разбираться в ядерной физике. Однако неприемлемо оценивать изображения, не имея представления о том, как они были получены или как можно повысить их качество. Рентгенологам необходимо четко понимать основные принципы получения изображений пре-восходного качества. В этой главе описываются различные возможности, позволяющие получить изображения высокого качества, подчеркиваются фундаментальные принципы, характерные для всех магнитно-резонансных (МР) томографов.

У каждого аппарата есть отличия. Напряженность магнитного поля томографов, которые используются в настоящее время в клинической практике, варьирует от 0,2 до 3,0 Тл. Кроме того, каждый производитель описывает свое оборудование, программное обеспечение и параметры сканирования собственными терминами, расшифровке которых можно посвятить целую главу. Время на подробное изучение характеристик вашего томографа с техниками или физиками не будет потрачено зря. Если вам интересно, прочитайте обсуждение физики МРТ в статьях или других руководствах, поскольку в этой книге мы по большей части оставим физику физикам.

Как получить изображения высокого качества?

Двигательные артефакты

Артефакты движения — одни из главных врагов МРТ (рис. 1.1). Они могут быть разного происхождения — сердцебиение, перистальтика кишечника и дыхательные движения. При исследовании костно-мышечной системы двигательные артефакты возникают, как правило, при движениях тела,

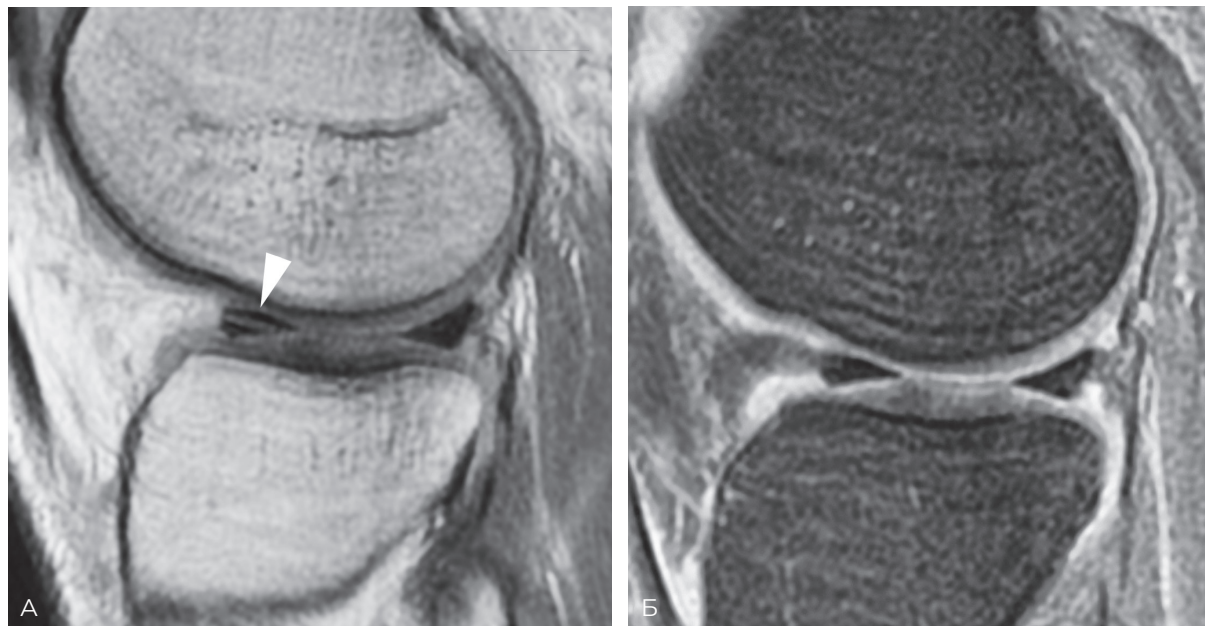


Рис. 1.1. Влияние движений. А — взвешенное по протонной плотности изображение коленного сустава в сагиттальной проекции. Имеется артефакт движения, вызывающий линейное повышение интенсивности сигнала подозрительное на разрыв переднего рога латерального мениска (показано стрелкой). Б — качество изображения, взвешенного по протонной плотности, с подавлением сигнала от жировой ткани также снижено за счет двигательных артефактов. Однако данное изображение подтверждает, что мениск не изменен, а патологический сигнал от мениска обусловлен двигательным артефактом

связанных с дискомфортом. Комфорт пациента имеет первостепенное значение, поскольку любое движение, даже при оптимизации всех остальных параметров, может испортить все изображение.

Комфорт пациента начинается с укладки. Нужно приложить все усилия, чтобы пациенту было удобно — если пациент лежит на спине, подложите подушку под колени, уменьшив таким образом нагрузку на позвоночник, или мягкие прокладки в точках давления. Если пациенту удобно, то для максимальной иммобилизации можно использовать пассивные ограничители — ленты, пенорезину или мешки с песком. Прослушивание музыки через наушники может уменьшить тревожность. Пациентам, страдающим клаустрофобией, может потребоваться кратковременная седация.

Еще одна причина движений — большая продолжительность исследования. Это один из доводов в пользу оптимизированных протоколов визуализации. Разработка эффективных последовательностей изображений позволяет получить необходимые изображения с минимальными временными затратами. В результате повышаются комплаентность пациентов и эффективность работы операторов, достигаются максимальные показатели пропускной способности томографа. Кроме того, стандартизованные протоколы снижают потребность в присутствии врача во время процедуры сканирования и позволяют повысить

качество интерпретации изображений, поскольку врач-рентгенолог анализирует анатомические области в одних и тех же проекциях, каждый раз используя аналогичные последовательности.

Сигнал и разрешение

Сигнал — это количество информации на изображении. Другие факторы также имеют значение, но если у изображения низкое качество сигнала (т.е. изображение «шумное»), то даже лучший рентгенолог не сможет его интерпретировать (**рис. 1.2**).

Каждое изображение состоит из вокселей (объемных элементов), соответствующих небольшому участку тканей пациента. Величина одного измерения вокселя определяется толщиной среза. Показатели других измерений зависят от поля сканирования и размера матрицы (т.е. от количества квадратов в сетке изображения) (**рис. 1.3**). Поскольку интенсивность сигнала пропорциональна количеству протонов, входящих в резонанс в каждом вокселе, все, что увеличивает размер вокселя, будет увеличивать интенсивность сигнала (**рис. 1.4**). При увеличении толщины срезов или поля сканирования либо, наоборот, уменьшении размера матрицы (объем изображения распространяется на меньшее количество ячеек, но ячейки более крупные), интенсивность сигнала повышается.

На сигнал влияет еще один фактор — количество захватов сигнала (известное также как количество усреднений сигнала, или число возбуждений). Если количество усреднений сигнала равно двум, то это означает, что сигнал от протонов, возникающий в каждом вокселе, собирается дважды. В результате время получения изображения удваивается. Это приводит к увеличению соотношения сигнал/шум пропорционально квадратному корню

из двух. Следовательно, для такого метода улучшения качества сигнала, как усреднение сигнала, не характерна существенная экономия времени.

Наконец, слишком тесное расположение срезов может отрицательно сказаться на сигнале, что объясняется феноменом перекрестной наводки. При близком расположении срезов помехи от одного среза могут распространяться на соседний срез, что приводит к увеличению шума. Это осо-

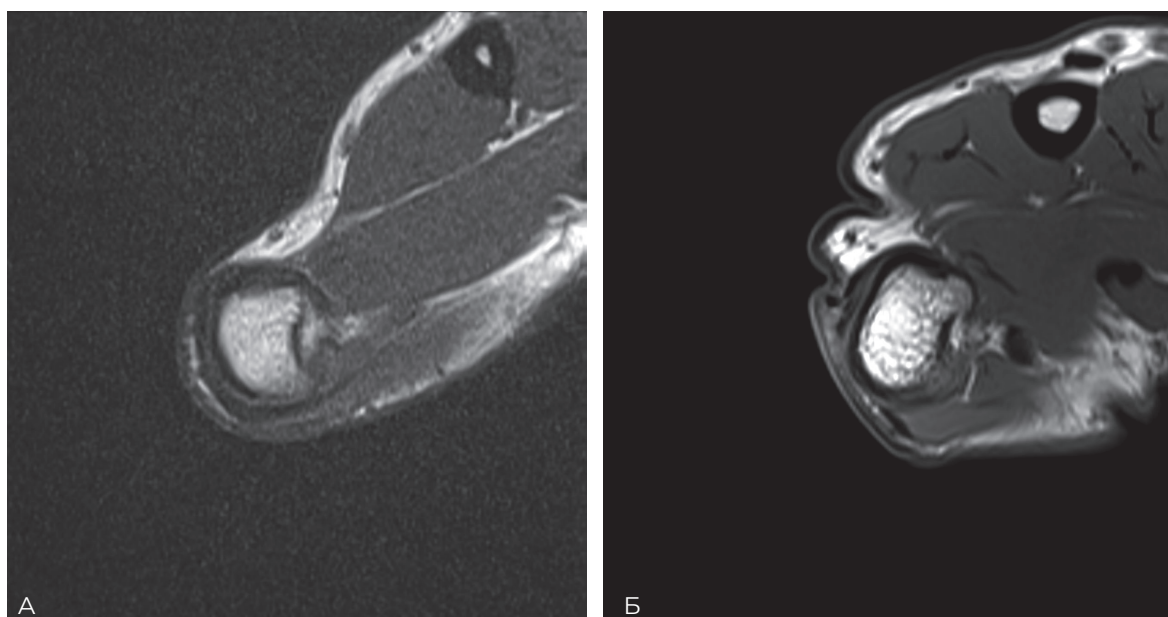


Рис. 1.2. Шум и влияние поверхностной катушки. А — Т1-ВИ большого пальца кисти в аксиальной проекции, полученное при помощи катушки с фазовой решеткой. Качество изображения очень низкое, и это связано прежде всего с выраженным шумом. Б — контрольное Т1-взвешенное изображение (ВИ) на том же уровне в аксиальной плоскости, полученное при помощи специализированной катушки для запястья. Качество изображения намного выше за счет улучшения соотношения сигнал/шум

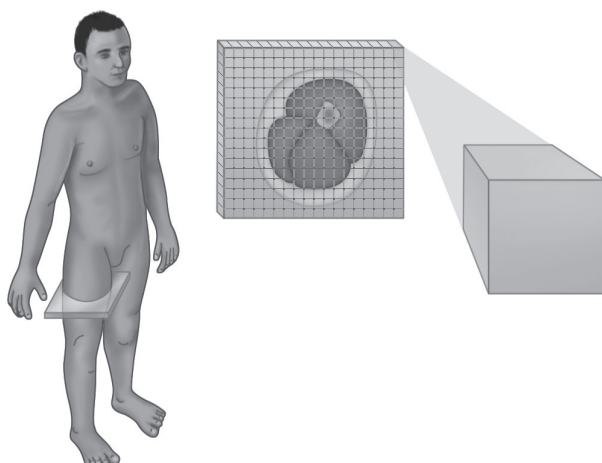


Рис. 1.3. Воксель. Схематическая диаграмма, иллюстрирующая матрицу изображения и отдельный воксель на МРТ-скане проксимального отдела бедра в аксиальной проекции

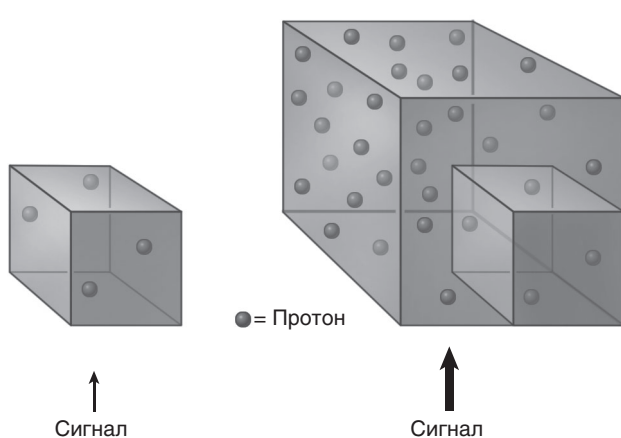


Рис. 1.4. Размер вокселя и сигнал. Интенсивность сигнала прямо пропорциональна числу протонов в вокселе. Обратите внимание, что в более крупном вокселе больше протонов, в результате интенсивность сигнала выше

бенно характерно для Т2-взвешенных последовательностей. Данный эффект можно уменьшить, установив промежуток между срезами (небольшую часть ткани, которую не визуализируют). В результате шум уменьшается, а интенсивность сигнала возрастает. Как правило, промежутки между срезами занимают от 10 до 25% толщины среза. Чем больше промежуток, тем больше невизуализируемых тканей и выше вероятность пропустить небольшое патологическое образование.

У каждого производителя МР-томографов есть последовательности, позволяющие избавиться от артефактов, связанных с движением, пульсирующим кровотоком и перекрестной наводкой. Эти последовательности особенно полезны в случае тревожности пациента или возникновении у него непроизвольных движений, которые могут помешать получению желаемых изображений.

Теперь, когда мы рассмотрели несколько способов улучшения качества сигнала (другими словами, повышения соотношения сигнал/шум), нужно обратить внимание на второй значимый фактор, позволяющий получить изображение высокого качества, — разрешение. Разрешение — способность различать объекты небольшого размера. При исследовании костно-мышечной системы этот фактор в большинстве случаев имеет критически важное значение, поскольку объектом исследования нередко являются относительно небольшие структуры.

При выполнении МРТ любые изменения, направленные на улучшение разрешения, отрицательно сказываются на сигнале. При уменьшении размера вокселя (путем уменьшения толщины среза,

поля сканирования или увеличения матрицы изображения) не только увеличивается разрешение, но и уменьшается число протонов в каждом вокселе и снижается интенсивность сигнала (**табл. 1.1**). Следовательно, при составлении протоколов визуализации всегда приходится искать компромисс между максимальным качеством сигнала (1) и оптимальным разрешением (2) (**рис. 1.5**). Еще одним фактором, помогающим достичь компромисса с минимальными потерями, является выбор катушки.

Таблица 1.1		Сигнал и разрешение: необходимые компромиссы	
↑ сигнал/↓ разрешение	↑ разрешение/↓ сигнал		
↑ толщина среза	↓ толщина среза		
↑ поле сканирования	↓ поле сканирования		
↓ матрица изображения	↑ матрица изображения		

Изображение при МРТ получается с помощью сигнала, который возвращается от резонирующих протонов в тканях. Как известно, чем ближе вы к лектору, тем лучше вам слышен его голос. Аналогичным образом обстоят дела и с приемной катушкой — чем ближе к тканям, представляющим интерес, она располагается, тем лучше сигнал и меньше уровень шума.

При МРТ необходимо приложить все усилия к тому, чтобы использовать катушку как можно меньшего размера, поскольку это позволит получить сигнал максимально высокого качества.

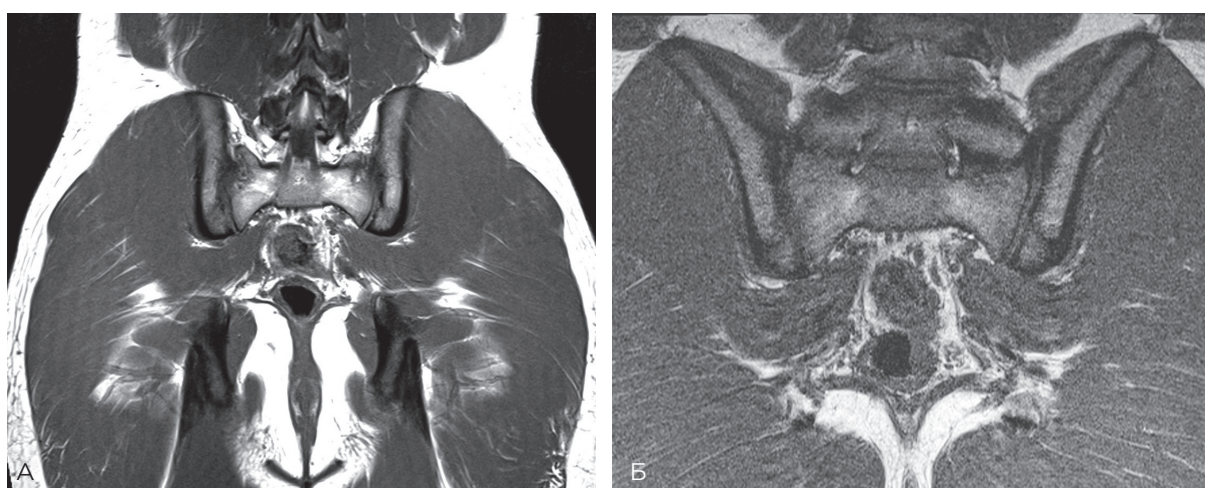


Рис. 1.5. Влияние поля сканирования на шум и разрешение. А — Т1-ВИ таза в коронарной проекции с большим полем сканирования. Обратите внимание на хорошие показатели соотношения сигнал/шум. Б — Т1-ВИ в косой проекции, полученное при использовании той же катушки, но с полем сканирования меньшего размера. На этом изображении разрешение действительно выше, чем на рис. А, однако в целом его качество невысоко по причине высокого уровня шума

Катушки, которые можно установить на исследуемую часть тела или максимально близко к ней, называют поверхностными. При использовании таких катушек качество сигнала значительно выше, чем при использовании катушек для тела. При выборе катушки необходимо учитывать ее размер. Размер стандартных катушек должен позволять получить сигнал по всей длине и глубине тканей, представляющих интерес. У плоской поверхностной катушки глубина проникновения примерно равна половине диаметра или ширины катушки. За пределами этого расстояния интенсивность сигнала уменьшается, что проявляется снижением его интенсивности на соответствующем участке изображения. Для того чтобы избежать этой проблемы при исследовании конечностей, часто используются так называемые объемные катушки. Они окружают руку или ногу, что обеспечивает однородность сигнала на протяжении всех тканей в интересующей области. Кроме того, в настоящее время в состав большинства катушек входит фазовая решетка. Катушка с фазовой решеткой состоит из нескольких катушек меньшего размера, составленных в ряд. Такая конструкция позволяет получить максимальный сигнал от каждой маленькой катушки и от каждого сегмента ткани, охватываемого катушками. Поверхностная катушка, как правило, позволяет получить хороший сигнал и использовать параметры изображения с более высоким разрешением. Для получения изображения с высокой интенсивностью сигнала и высоким разрешением принципиально важен выбор подходящей катушки.

Контрастность тканей (тканевое разрешение)

И КТ и МРТ позволяют получить срезы с высоким разрешением, однако отличительной способностью МРТ является лучшая контрастность мяг-

ких тканей (способность различать типы тканей на основании интенсивности сигнала от них). При КТ принцип получения изображений заключается в свойстве тканей ослаблять рентгеновские лучи, а при МРТ контрастность мягких тканей связана с различиями в уровне резонанса от протонов в тканях. Протоны в жировой ткани резонируют не так, как протоны в жидкости. Изменяя параметры визуализации, оператор МРТ может подчеркнуть различие этих свойств в разных тканях. Это называют взвешиванием изображения. Ткани можно различить на основании интенсивности сигнала, исходящего от них, при использовании различных последовательностей.

При МРТ интенсивность сигнала от ткани описывают с помощью относительных терминов (например, гиперинтенсивный относительно мышечной ткани). Это связано с тем, что значениям изображения на серой шкале не присваивают определенные числа, как при КТ, — их сравнивают с самым ярким voxelем на изображении.

Импульсные последовательности (табл. 1.2 и 1.3)

Совокупность специфических параметров изображения, выбранных для одного среза, называют импульсной последовательностью. Исследование костно-мышечной системы включает, как правило, от трех до шести последовательностей в различных анатомических проекциях. Существуют различные виды последовательностей. У каждой есть свои сильные и слабые стороны. На данном этапе мы не хотели бы увязнуть в технических деталях. Далее типичные параметры изображения для каждой импульсной последовательности приведены в скобках. Эти сведения суммированы в табл. 1.3, а в конце главы приведен гlosсарий, который поможет разобраться в незнакомых терминах.

Таблица 1.2

Сильные и слабые стороны импульсных последовательностей

Последовательность	Сильные стороны	Слабые стороны
Быстрое спиновое эхо		
T1	Анатомические детали. Жир, подострые кровоизлияния. Накопление в тканях контрастного препарата Gd-DTPA (в режиме подавления сигнала от жировой ткани). Патологические изменения костного мозга	Низкая чувствительность в отношении отека мягких тканей и другой патологии, которая хорошо обнаруживается в режиме T2. В отношении патологии костного мозга данная последовательность менее чувствительна, чем STIR или FSE-T2 в режиме подавления сигнала от жировой ткани
Протонная плотность	Анатомические детали. Патологические изменения менисков	Низкая чувствительность в отношении выявления жидкости и патологии костного мозга, если не использовать режим подавления сигнала от жировой ткани